

## LECȚIA 12: PLĂCI PLANE ÎN COORDONATE CARTEZIENE: APLICAȚII MDF ȘI SOLUȚIA NAVIER

Metoda Diferențelor Finite **MDF** este prezentată în extensor în **Anexa A** ; metoda Navier este importantă din două motive:

- i. este o metodă exactă;
- ii. este prima metodă de calcul – sub aspect istoric – deschizând metode și procedee noi de calcul.

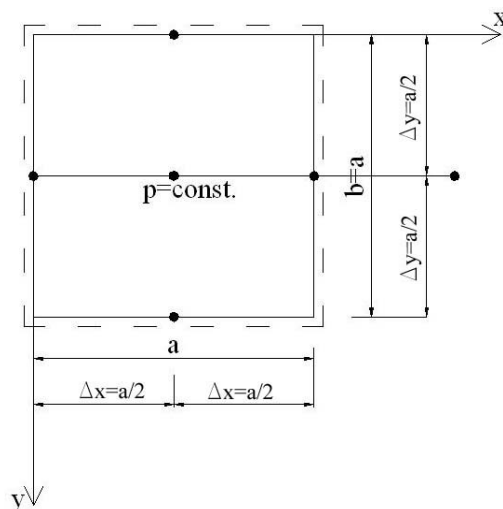
➤ **Ex: 12.1:** Utilizând raportul  $\bar{r} = \frac{\Delta x}{\Delta y} \geq 1 \rightarrow$  vezi Anexa A,  $r = \frac{\Delta y}{\Delta x} \leq 1$  să se scrie operatorul  $(\Delta_x^4) \nabla^4 w(x, y)$  în diferențe finite.

➤ **Ex: 12.2:** Date  $a, p$  – sarcină uniform distribuită pe o placă pătrată, simplu rezemată pe contur:  $E = 300000 \text{ daN/cm}^2$ ;  $\nu = \frac{1}{6}$ ;  $h = \frac{a}{16}$

Rețeaua **MDF** are pasul  $\Delta x = \Delta y = \frac{a}{2}$  (fig.12.2).

Să se obțină  $w_{\max}^{MDF} = ?$

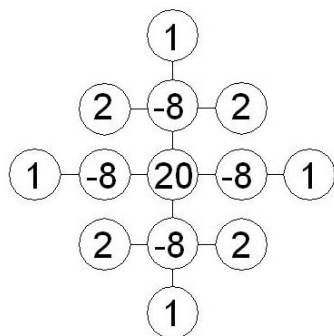
**Indicație:** modelul MDF are o singură necunoscută, deci  $w_{\max} = w_1$  (săgeata din centrul plăcii)



**Fig.12.1:** Pentru enunțul Ex. 12.1

**Rezolvare:**

Avem  $r = \frac{\Delta y}{\Delta x} = 1 \Rightarrow$  caroiajul este egal (de tip pătrat).- fig. 12.2



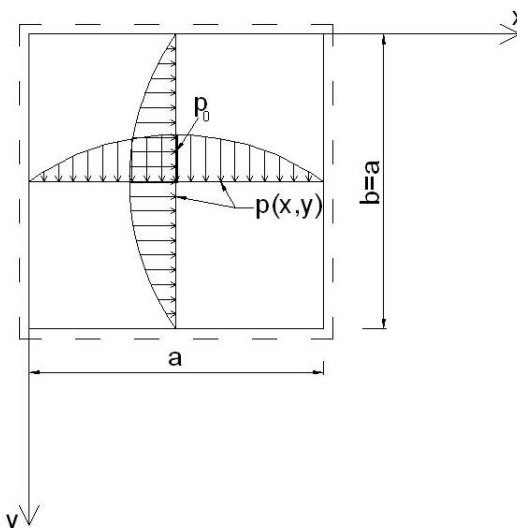
**Fig. 12.2:** “Moleculă” de lucru a metodei MDF pentru  $r = \frac{\Delta y}{\Delta x} = 1$

$$w_1 : 20w_1 - 8(0 + 0 + 0 + 0) + 2(0 + 0 + 0 + 0) + 1(-w_1 - w_1 - w_1 - w_1) = \frac{p\Delta_x^4}{D}$$

$$16w_1 = \frac{p \frac{a^4}{2}}{4^4 D} = \frac{pa^4}{16D}; \text{ sau } w_1 = w_{\max} = \frac{pa^4}{256D}$$

$$D = \frac{Eh^3}{12(1-\nu^2)} = \frac{300000}{12 \left[ 1 - \left( \frac{1}{6} \right)^2 \right]} = \dots \dots \dots w_1 = .$$

➤ **Ex.12.3:** Date :  $p = p_0 \sin \frac{\pi x}{a} \sin \frac{\pi y}{b}$  ; D , a, b = a ; toate laturile sunt simplu rezemate (fig. 12.3.)



**Fig. 12.3:** Pentru enunțul Ex. 12.3

Se cere:

- i. Semnificația parametrului:  $p_0$  se va arăta că  $p_0$  reprezintă intensitatea funcției – încărcare în centrul plăcii;
- ii. Soluția adoptată  $w^{\sin}(x, y) = w_0 \sin \frac{\pi x}{a} \sin \frac{\pi y}{b=a}$  se va arăta că  $w_0$  este mărimea săgeții în centrul plăcii;

iii.  $p_o = ?$  astfel încât  $w_0^{\sin} = w_0^{MDF}$  comparație între rezultatele din Ex. 12.2 și Ex. 12.3

**Rezolvare :**

i.

$$\left\{ \begin{array}{l} p_0 = p(x = \frac{a}{2}; y = \frac{b}{2}) = p_0 \underbrace{\sin \frac{\frac{\pi a}{2}}{a}}_{=1} \underbrace{\sin \frac{\frac{\pi b}{2}}{b}}_{=1}; \text{ deci } p_0 \text{ reprezintă intensitatea încărcării} \\ \text{sinusoidale în centrul plăcii} \\ w_0^{MDF} = ? \text{ (se va rezolva cu ecuația Ex.12.2); } 16w_1 = \frac{P_{unif} \left(\frac{a}{2}\right)^4}{D} = \frac{P_{unif} a^4}{16D} \Rightarrow w_{\max}^{MDF} = \frac{P_{unif} a^4}{256D} \end{array} \right.$$

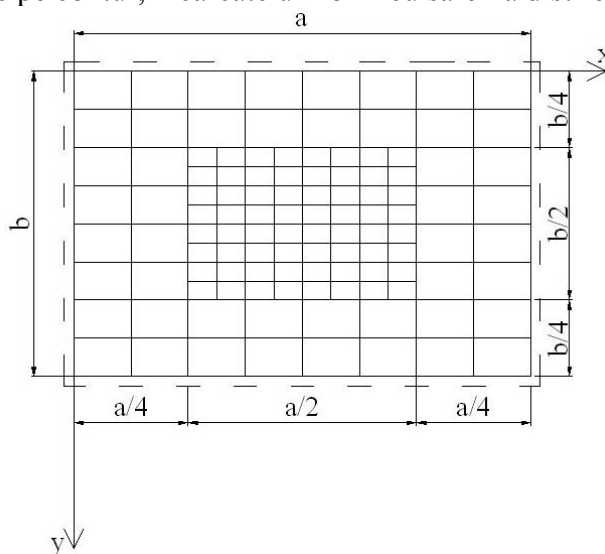
ii. Arătăm că:  $w_0 = w(x = \frac{a}{2}; y = \frac{b}{2}) = w_0 \underbrace{\sin \frac{\frac{\pi a}{2}}{a}}_{=1} \underbrace{\sin \frac{\frac{\pi b}{2}}{b}}_{=1} \Rightarrow w_0^{\sin} = w_{\max}^{\sin} = ?$

iii. Transformăm încărcarea  $\left\{ \begin{array}{l} p(x, y) \text{ în } p \Rightarrow (Ex.12.2) w_{\max}^{MDF} \\ w_{\max}^{\sin} = w_{\max}^{MDF} = \dots \Rightarrow \frac{P_0}{P_{unif}} = ? \end{array} \right.$

➤ **Ex. 12.4:** Enunț identic cu Ex12.3 dar  $a = a ; b = 1,5 a$

**Indicație :**  $r = \frac{\Delta x}{\Delta y} = \frac{0,50a}{0,75a} = 0,667$

➤ *Com:* Principii de armare ale plăcilor din beton armat ( fig.12.4)  
 Aceste principii sunt inspirate din examinarea comportării plăcilor dreptunghiulare, simplu rezemate pe contur, încărcate uniform cu sarcina distribuită  $p = \text{const}$ .



**Fig. 12.4:** Principiile de armare ale plăcilor dreptunghiulare, simplu rezemate pe contur.

**Principiul 1:** Armarea pe direcția mai scurtă este mai densă.(de ce?)

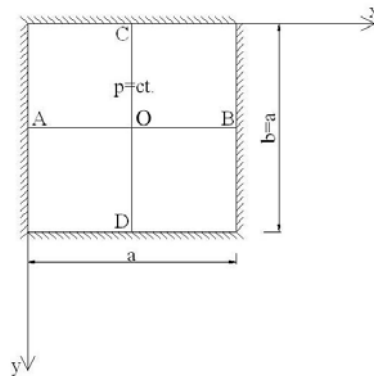
**Principiul 2:** Zona centrală ( de dim.  $\frac{a}{2}; \frac{b}{2}$ ) se armează mai dens (dublu) față de zonele

marginale care ocupă dim.  $(\frac{a}{4}; \frac{b}{4})$

**Principiul 3:** Colțurile trebuie fixate împotriva tendinței de ridicare.(de ce?)

➤ **Ex: 12.5** Prezentați și explicați principiile de armare ale plăcilor dreptunghiulare simplu rezemate pe contur, încărcate cu sarcina uniform distribuită  $p = \text{const}$ .

➤ **Ex.12.6:** Date  $a, b, D, p = \text{const}$ . (placă încastrată pe contur, încărcată cu sarcină uniform distribuită) – fig. 12.5



**Fig. 12.5:** Pentru enunțul Ex. 12.6

Se cere:

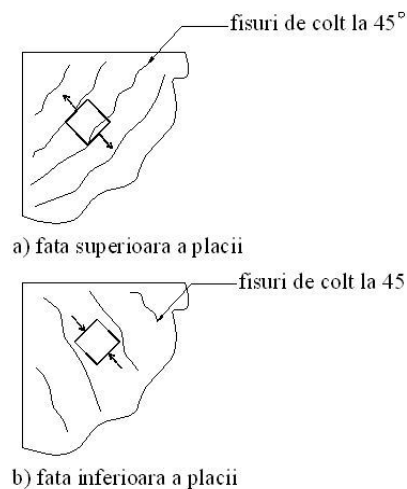
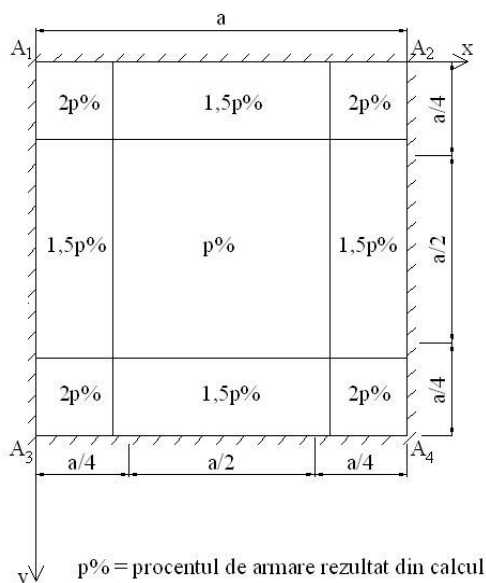
i. Soluția  $w /_{MDF} \Rightarrow w_{\max} = w_0 = ?$

ii. Soluția  $Mx_{||x}; My_{||y}$  de-a lungul liniilor AB, CD, care trec prin centrul plăcii (fig. 12.5)

iii. Să se sugereze principiile de armare la o placă încastrată pe contur.

**Indicație:** pentru punctual iii .(fig. 12.6)

- $p\%$  armarea zonei centrale
- $1,5p\%$  zonele laterale
- $2p\%$  zonele de colț

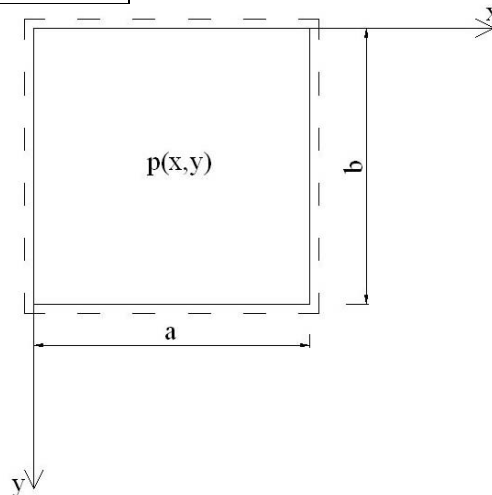


**Fig. 12.6:** Principii de armare a placilor patrute incastrate pe contur

### Soluția Navier pentru plăci dreptunghiulare , simplu rezemate pe contur: soluția în serii duble Fourier

➤ **Ex. 12.7:** Date  $D$ ,  $a$ ,  $b$ ,  $p(x,y)$ . Se prezintă strategia de calcul a soluției  $w(x,y)$ .  
**Soluția Navier:** constă în adaptarea soluției sub forma unei serii Fourier duble:

$$w(x, y) = \sum_{m=1}^{\infty} \sum_{n=1}^{\infty} A_{mn} \sin \frac{m\pi x}{a} \sin \frac{n\pi y}{b}$$



**Fig. 12.7**

- (1) Soluția se obține calculând coeficienții Fourier  $A_{mn}$  adică rezolvând ecuația diferențială **LGK!**
- (2)  $\nabla^4 w(x, y) = \frac{p(x, y)}{D} \Rightarrow A_{mn}$  (după determinarea coeficientului  $B_{mn}$ ). Încărcarea  $p(x, y)$  se dezvoltă, de asemeni în serie Fourier dublă:
- (3)  $p(x, y) = \sum_{m=1}^{\infty} \sum_{n=1}^{\infty} B_{mn} \sin \frac{m\pi x}{a} \sin \frac{n\pi y}{b}$  unde  $p(x, y)$  este încărcarea dată, cunoscută  $\Rightarrow B_{mn}$ .

➤ **Ex: 12.8:** Să se obțină coeficienții  $B_{mn}$ ; Date: încărcarea  $p(x, y)$

$$(4) B_{mn} = \frac{4}{ab} \int_0^a \int_0^b p(x, y) \sin \frac{m\pi x}{a} \sin \frac{n\pi y}{b} dx dy$$

Dacă  $p = \text{const.}$  (încărcare uniform distribuită):

$$B_{mn}^{p=\text{const}} = \frac{4p}{ab} \int_0^a \left( \sin \frac{m\pi x}{a} dx \right) \left( \int_0^b \sin \frac{n\pi y}{b} dy \right)$$

➤ **Ex: 12.9:** Dezvoltați ecuația diferențială  $\nabla^4 w(x, y)$  cu soluția (1) (Navier) și obțineți rezultatul:

$$(5) \nabla^4 w(x, y) = \sum_{m=1}^{\infty} \sum_{n=1}^{\infty} \left\{ A_{mn} \left[ \left( \frac{m\pi}{a} \right)^4 + 2 \left( \frac{m\pi}{a} \right)^2 \left( \frac{n\pi}{b} \right)^2 + \left( \frac{n\pi}{b} \right)^4 \right] \cdot \sin \frac{m\pi x}{a} \sin \frac{n\pi y}{b} \right\}$$

- **Ex: 12.10:** Din ecuația (2) a strategiei de calcul a soluției (Ex. 12.7) obțineți rezultatul: deduceți relația:

$$(6) A_{mn} = \frac{1}{\pi^4 D} \frac{B_{mn}}{\left(\frac{m^2}{a^2} + \frac{n^2}{b^2}\right)} \quad \text{Ex: } m = 1; n = 3; A_{13}=?$$

- **Ex: 12.11:** Dacă  $p = \text{const.}$  arătați că:

$$w = \frac{16pa}{\pi^6 D} \sum_{m=1}^{\infty} \sum_{n=1,3,5}^{\infty} \frac{\sin \frac{m\pi x}{a} \sin \frac{n\pi y}{b}}{mn \left(\frac{m^2}{a^2} + \frac{n^2}{b^2}\right)^2} \text{ pentru: } m = 1,3; n = 1,3; \text{ calculați: } w_{\max} = w\left(x = \frac{a}{2}; y = \frac{b}{2}\right).$$